



# БИООРГАНИЧЕСКАЯ ХИМИЯ

том 4 \* № 2 \* 1978

УДК 547.962.32+546.07

## СИНТЕЗ ОЛИГО- И ПОЛИНУКЛЕОТИДОВ

XIX. СИНТЕЗ 3'-КОНЦЕВОГО ДВУХЦЕПОЧЕЧНОГО ФРАГМЕНТА  
СТРУКТУРНОГО ГЕНА ВАЛИНОВОЙ тРНК ДРОЖЖЕЙ \*

*Берлин Ю. А., Болдырева Е. Ф., Ефимов В. А.,  
Колосов М. Н., Коробко В. Г., Чахмажчева О. Г.,  
Шингарова Л. Н.*

*Институт биоорганической химии им. М. М. Шемякина  
Академии наук СССР, Москва*

Фосфодиэфирным методом синтезированы додекадезоксирибонуклеотиды G-T-T-C-G-A-T-C-C-T-G-G и G-C-G-A-A-T-C-A-C-C-A, гомологичные 3'-концевому участку 54—77 валиновой тРНК дрожжей. Эти олигонуклеотиды и описанный ранее додекадезоксинуклеотид T-T-C-G-C-C-A-G-G-A-T 5'-fosфорилированы гАТР при помощи T4-полинуклеотидкиназы и в комплексе с гептадезоксинуклеотидом T-G-G-T-G-A-T ковалентно спарты ДНК-лигазой бактериофага T4. Тем самым осуществлен химико-ферментативный синтез 3'-концевого фрагмента структурного гена валиновой тРНК, содержащего 24-членный двухцепочечный участок и 5-членный выступающий конец, необходимый для дальнейшего построения гена.

Ранее мы синтезировали додекадезоксинуклеотид (XIII) и гептадезоксинуклеотид (XIV), которые в совокупности комплементарны 3'-концевому участку 59—77 валиновой тРНК дрожжей [3]. В развитие этих исследований мы осуществили химический синтез додекадезоксинуклеотидов (VI) (схема 1) и (XII) (схема 2), гомологичных участку 54—77 этой тРНК. Синтез проводился фосфодиэфирным методом с TPS в качестве конденсирующего реагента, причем нуклеотидная цепь наращивалась блоками в направлении от 5'— к 3'-концу.

5'-Концевой пентануклеотид (I), использованный в синтезе по первой схеме, был описан ранее [4]. Соответствующий пентануклеотид (VIII) (схема 2) был получен из 5'-концевого нуклеозида последовательным наращиванием двумя дицуклеотидными блоками. В обоих синтезах к этим пентануклеотидам присоединяли один и тот же тринуклеотид (II), а затем тетрануклеотид (IV) или (X). Все полученные соединения были охарактеризованы спектрально и хроматографически, а их мономерный состав определен (после удаления защитных групп) ферментативным гидролизом (см. табл. 1).

Защищенные додекануклеотиды (V) и (XI) выделяли хроматографией на DEAE-целлюлозе в ТЕАВ (рис. 1) и рехроматографировали в растворе NaCl, содержащем 7 М мочевину (рис. 2). После удаления всех защитных групп конечные додекануклеотиды (VI) и (XII) очищали двукратной анионнообменной хроматографией в присутствии 7 М мочевины сначала в нейтральном или кислом, а затем в кислом растворе (рис. 3). Чистота синтезированных додекануклеотидов была доказана микроколоночной хрома-

\* Сообщение XVIII см. [1], предварительное сообщение см. [2]. В статье использованы следующие нестандартные сокращения: ТЕАВ — бикарбонат триэтиламмония; TPS — 2,4,6-триизопропилбензольсульфохлорид; символы Т, С, А и Г обозначают соответствующие дезоксинуклеозиды.

Схема 1

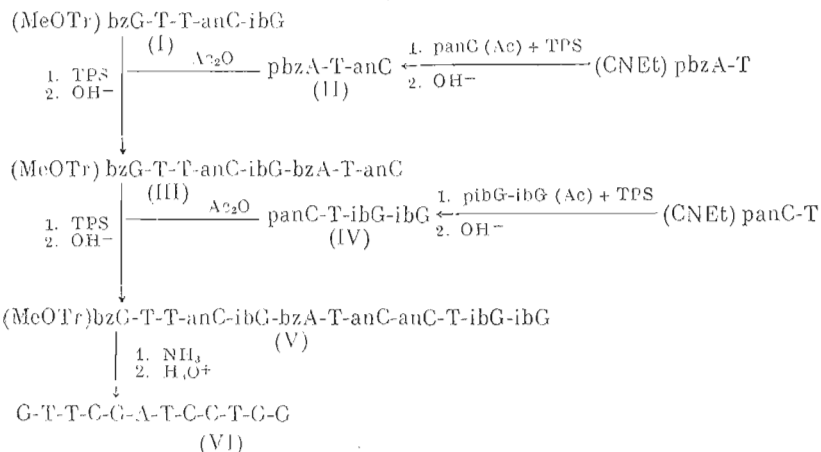
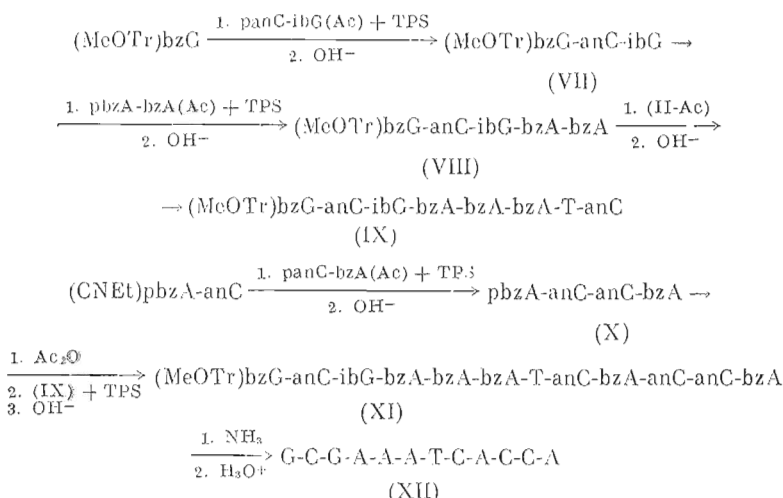


Схема 2



тографией (рис. 4), а первичная структура подтверждена нуклеотидными картами (рис. 5).

Заключительный этап синтеза состоял в ковалентном соединении полученных в этой работе и описанных ранее олигонуклеотидов: (VI) с (XII) и (XIII) с (XIV). Додекануклеотид (XIII) комплементарен додекануклеотидам (VI) и (XII), а гептануклеотид (XIV) — додекануклеотиду (XII). Благодаря этому при антипараллельной ориентации они способны образовать четырехкомпонентный комплекс, который представляет собой 24-звенный двухцепочечный олигонуклеотид (с 5'-членным выступающим 5'-концом), имеющий по одному разрыву в каждой цепи. Образование фосфодиэфирных связей на месте этих разрывов было осуществлено с помощью ДНК-лигазы бактериофага T4. Для этого (см. схему 3) додекануклеотиды (VI), (XII) и (XIII) сначала 5'-фосфорилировали действием [ $\gamma$ -<sup>32</sup>P]ATP и T4-полинуклеотидкиназы, затем прибавляли избыток неизмененного гептануклеотида (XIV) и смесь [вероятно, четырехкомпонентный комплекс (<sup>32</sup>P-VI)·(<sup>32</sup>P-XIII)·(<sup>32</sup>P-XII)·(XIV)] и инкубировали с ДНК-лигазой \*. За ходом лигазной реакции следили по превращению [<sup>32</sup>P]фос-

\* Было найдено, что если гептануклеотид (XIV) тоже вводить в эту реакцию в виде 5'-фосфата (<sup>32</sup>P-XIV), то после образования соответствующего продукта лигазной сшивки — двухцепочечного нуклеотида (XV)·(<sup>32</sup>P-XVI) — происходит соединение встык (blunt ligation) двух его молекул вследствие наличия фосфатной группы на невыступающем (равном) конце дуплекса (ср. [5]).

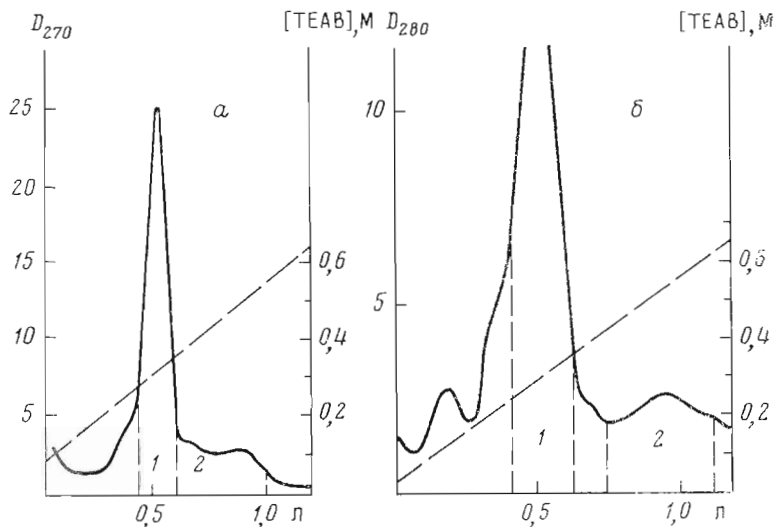


Рис. 1. Выделение защищенных додекануклеотидов (V) и (XI) хроматографией на DEAE-целлюлозе ( $\text{HCO}_3^-$ ) в градиенте концентрации TEAB в спирте: *a* — выделение (V), колонка  $2 \times 33$  см, 35% спирт, фракции по 5 мл/5 мин; пик 1 содержит 2600  $\text{OE}_{270}$  тетрануклеотида (IV), пик 2 (800  $\text{OE}_{270}$ ) содержит додекануклеотид (V); *б* — выделение (XI), колонка  $1,5 \times 30$  см, 30% спирт, фракции по 6,5 мл/3 мин; пик 1 содержит 1800  $\text{OE}_{280}$  тетрануклеотида (X), пик 2 (640  $\text{OE}_{280}$ ) содержит додекануклеотид (XI)

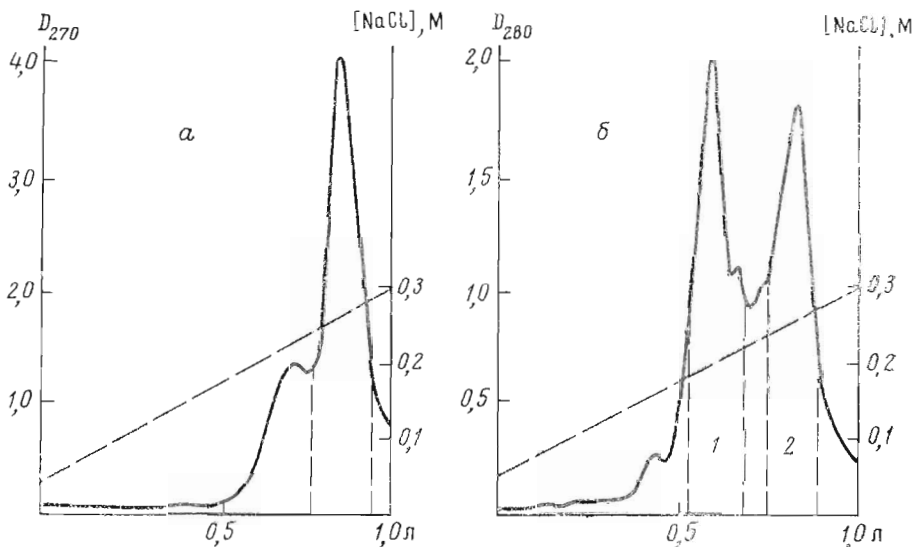


Рис. 2. Рехроматография защищенных додекануклеотидов (V) и (XI) на DEAE-целлюлозе ( $\text{Cl}^-$ ) в градиенте концентрации  $\text{NaCl}$  в 7 М мочевине и 0,01 М Трис- $\text{HCl}$ , рН 7,5. *a* — очистка (V), колонка  $1,4 \times 32$  см, фракции по 4,7 мл/6 мин; основной пик содержит 380  $\text{OE}_{280}$  додекануклеотида (V); *б* — очистка (XI), колонка  $1,5 \times 25$  см, фракции по 5,2 мл/9 мин; пик 1 (250  $\text{OE}_{280}$ ) содержит смесь октануклеотида (IX) и пирофосфата тетрануклеотида (X), пик 2 содержит 220  $\text{OE}_{280}$  додекануклеотида (XI)

фата из концевого в межнуклеотидный, устойчивый к действию щелочной фосфатазы *E. coli*; оказалось, что содержание фосфатазоустойчивого  $^{32}\text{P}$  через 5 ч достигает максимальной величины, равной 54% исходного суммарного количества  $^{32}\text{P}$ .

Образовавшийся в результате лигазной спивки двухцепочечный полинуклеотид (XV)-(XVI) был отделен от исходных веществ (VI), (XII),

Таблица 1

Олигонуклеотид	$R_{dprt}$ в системе		УФ-характеристики				Мономерный состав (определены гидролизом VPDE)										
	$\lambda$	$\beta$	$\lambda_{\text{Марс}}$ , нм	$\lambda_{\text{мин.}}$ , нм	$\frac{\varepsilon_{250}}{\varepsilon_{260}}$	$\frac{\varepsilon_{270}}{\varepsilon_{260}}$	$\frac{\varepsilon_{280}}{\varepsilon_{260}}$	$\frac{\varepsilon_{290}}{\varepsilon_{260}}$	$\frac{\varepsilon_{300}}{\varepsilon_{260}}$	$G$	$A$	$pG$	$pT$	$pC$	$pA$		
pbzA-T-anC (II)	0,83	0,74	258(II), 284, 305(II)	240	0,83	1,19	1,31	1,20						1,0	1,4	0,85	
pA-T-G-(MeOT) <sub>n</sub> bzG-T-p-anC:bzA-T-anC (III)	0,70	0,25	272	232	0,76	0,97	0,52	0,38	0,91						1,0	1,4	1,0
G-T-T-C-G-A-T-G	0,88	0,45	262, 278(II), 258, 270(II)	235	0,84	0,94	0,68	0,35	0,90					0,85	3,2	2,0	1,0
panC-T-bzG-bzG (IV)	0,50	0,45	262	230	0,83	0,95	0,92	0,82	0,75					2,0	1,2	0,95	
pG-T-G-G	0,85	0,40	260, 286	240	0,90	0,94	0,67	0,26	0,75					0,75			
(MeOT) <sub>n</sub> bzC-T-T-anC:bzG-bzA-T-anC-anC-T-bzG-bzG (V)	0,75	0,7	256, 270(II)	247, 273	0,93	0,96	0,99	1,02	0,91					3 *	4 *	3 *	1 *
G-T-T-C-G-A-T-C-G-T-G-G (VI)	0,60	0,60	264(II), 283	248	0,95	1,06	1,19	1,45	0,73					0,96	1,0	1,0	1,05
(MeOT) <sub>n</sub> bzG-anC:bzG (VII)	0,95	0,95	256(II), 282	228	0,97	0,81	0,54	0,25	0,92					0,90	1,1	1,0	2,0
G-C-G	0,75	0,30	260, 270(II)	235	0,93	0,96	0,99	1,02	0,90					0,96	1,0	1,0	1,05
(MeOT) <sub>n</sub> bzG-anC:bzG-bzA-bzA (VIII)	0,75	0,45	263(II), 280	246	0,92	1,14	1,22	1,08	0,92					0,90	1,1	1,0	1,0
G-C-G-A-A	0,45	0,42	259	237	0,86	0,84	0,47	0,30	1,45					0,80	1,0	2,0	2,65
(MeOT) <sub>n</sub> bzG-anC:bzG-bzA-bzA-bzA-T-anC-bzA-anC:bzA (IX)	0,75	0,45	285	243	0,89	1,20	1,57	1,57	1,57					1,0	1,0	2,0	1,0
pA-C-C-A	0,45	0,42	262	230	0,82	0,85	0,45	0,45	0,45					1,0			
(MeOT) <sub>n</sub> bzG-anC:bzG-bzA-bzA-bzA-T-anC-bzA-anC:bzA (X)	0,45	0,42	259	237	0,94	0,86	0,58	0,29	0,91					1 *	4 *	4 *	5 *
G-C-C-A-A-T-C-C-A-C-C-A (XI)																	

\* Определено на основании пугнотилной карты, рис. 5.

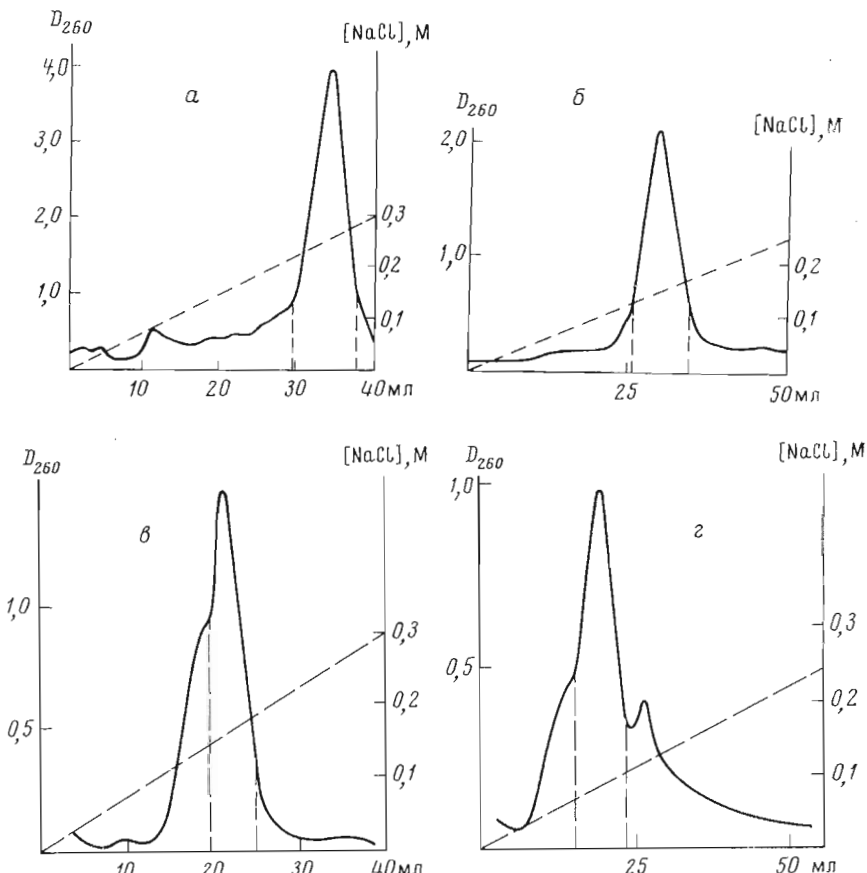


Рис. 3. Выделение и рехроматография незащищенных додекануклеотидов (VI) и (XII) на DEAE-целлюлозе ( $\text{Cl}^-$ ) в градиенте концентрации  $\text{NaCl}$  в 7 М мочевине. *a* — выделение (VI), колонка  $0,5 \times 3$  см,  $0,01\text{ M}$  Трис- $\text{HCl}$ ,  $\text{pH } 7,5$ , скорость элюции  $0,3\text{ мл/мин}$ ; основной пик содержит  $20\text{ OE}_{260}$  додекануклеотида (VI); *b* — рехроматография б  $\text{OE}_{260}$  (VI), колонка  $0,5 \times 3$  см,  $\text{pH } 3,5$ , скорость элюции  $0,5\text{ мл/мин}$ ; основной пик содержит  $2,8\text{ OE}_{260}$  додекануклеотида (VI). *c* — выделение (XII), колонка  $0,5 \times 5$  см,  $\text{pH } 3,5$ , скорость элюции  $0,33\text{ мл/мин}$ ; отмеченная часть пика содержит 6  $\text{OE}_{260}$  (XII); *d* — рехроматография (XII), колонка  $0,5 \times 5$  см,  $\text{pH } 3,0$ , скорость элюции  $0,33\text{ мл/мин}$ ; отмеченная часть пика содержит  $3,0\text{ OE}_{260}$  додекануклеотида (XII)

(XIII) и (XIV) хроматографией на сефадексе G-50 (рис. 6), и его строение было доказано (табл. 2) 5'-дефосфорилированием при помощи ВАР с последующим гидролизом VPDE или SPDE (анализ ближайших соседей),

Таблица 2

Олигонуклеотид	Радиоактивность (имп/мин) продуктов после дефосфорилирования действием ВАР и гидролиза фосфодиэтеразой							
	VPDE *				SPDE			
	pT	pC	pA	pG	Tp	Cp	Ap	Gp **
Дуплекс (XV) · (XVI)	7740	<20	<20	8010	6940	<20	<20	4610 **
24-мер (XV)	<20	<20	<20	4310	<20	<20	<20	3220 **
19-мер (XVI)	10 490	<20	<20	<20	11 270	<20	<20	<20

\* При гидролизе VPDE без предварительной обработки ВАР были получены следующие результаты: дуплекс (XV) · (XVI) —  $^{32}\text{pT}$  и  $^{32}\text{pG}$  в соотношении 1:2, 24-мер (XV) —  $^{32}\text{pG}$ , 19-мер (XVI) —  $^{32}\text{pT}$ .

\*\* Заниженный выход  $^{32}\text{p}$ , вероятно, обусловлен примесью пуринспецифичной 3'-нуклеотидазы в препарате SPDE.

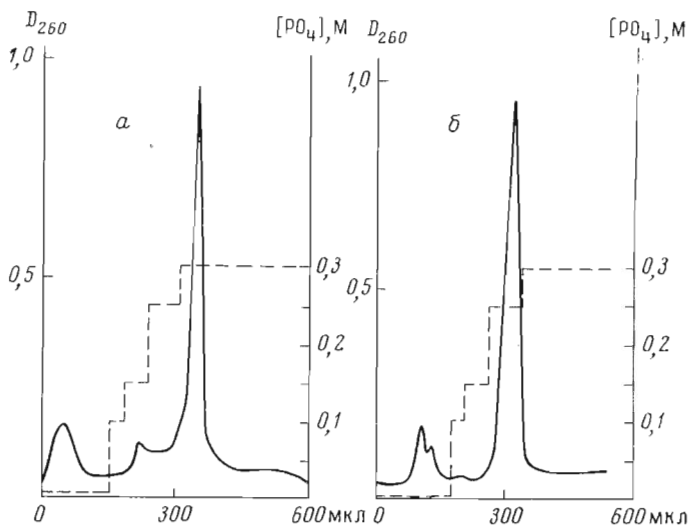
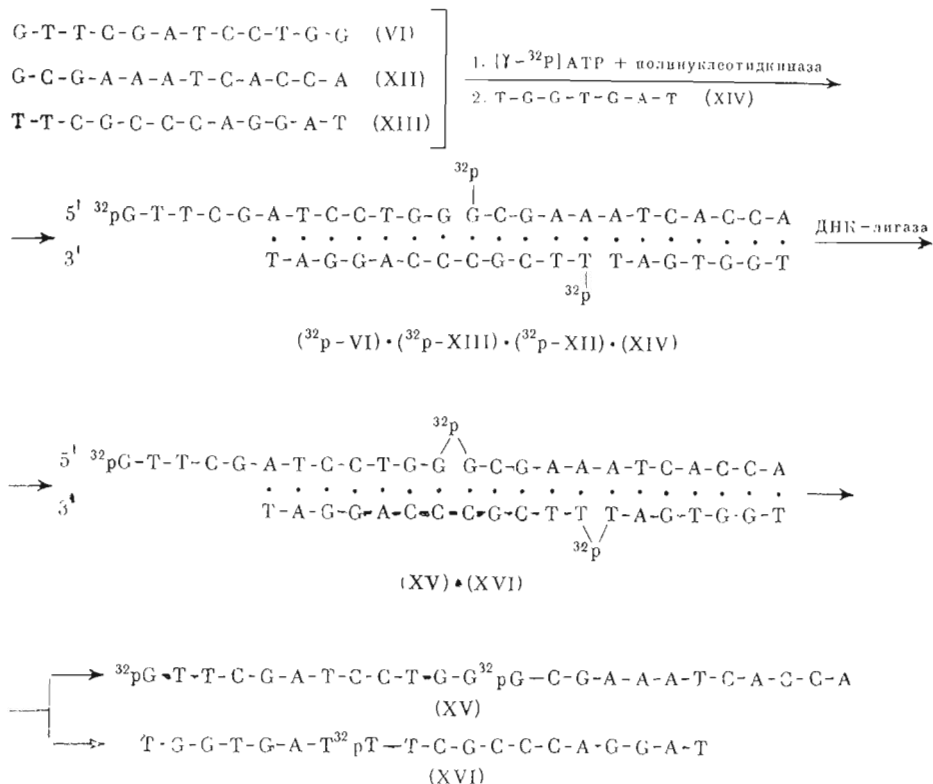


Рис. 4. Микроколоночная хроматография на DEAE-целлюлозе ( $0,65 \times 60$  мм) в ступенчатом градиенте концентрации Na-фосфатного буфера (600 мкл), pH 3,5,  $60^\circ$ , скорость элюции 82 мкл/ч; *a* — додекануклеотид (VI), *b* — додекануклеотид (XII)

### Схема 3



а также непосредственно гидролизом VPDE. Далее, полинуклеотидные цепи дуплекса (XV)-(XVI) были разделены электрофорезом в полиакриламидном геле в денатурирующих условиях (рис. 7) и выделенные 24-мер (XV) и 19-мер (XVI) были проанализированы аналогичным способом (табл. 2).

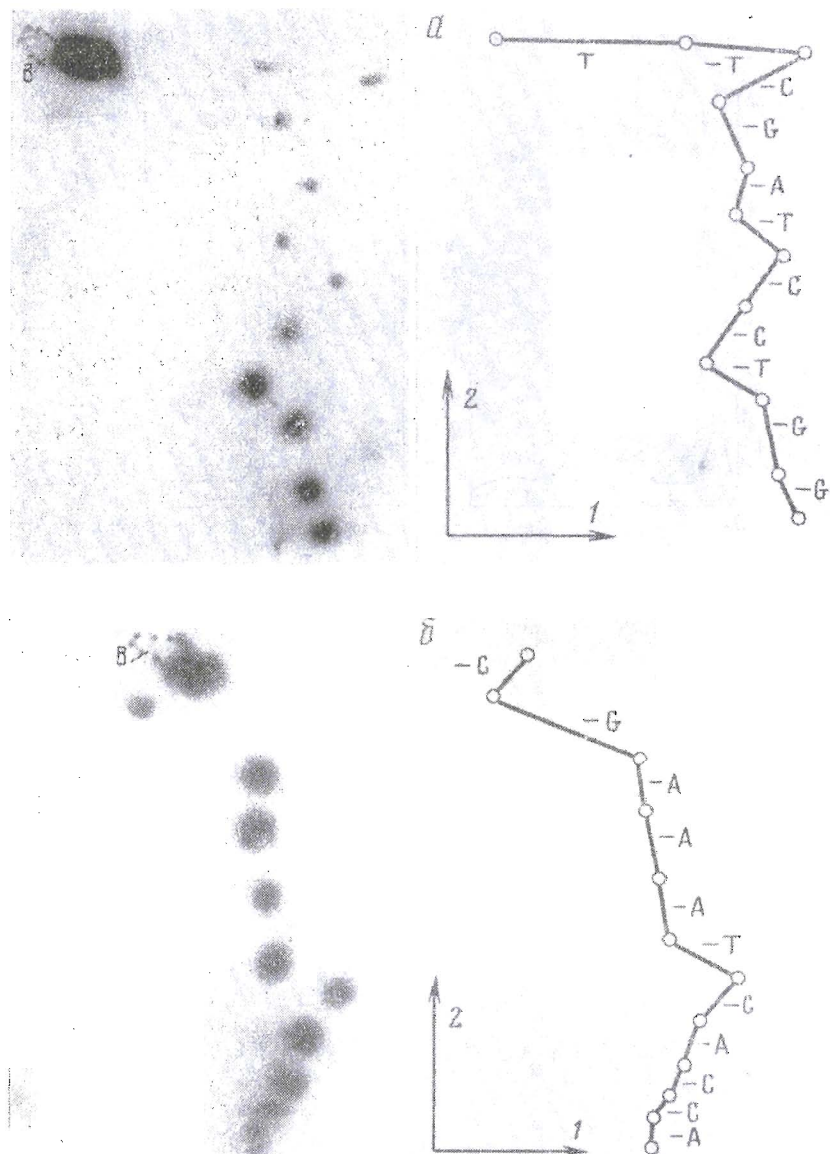


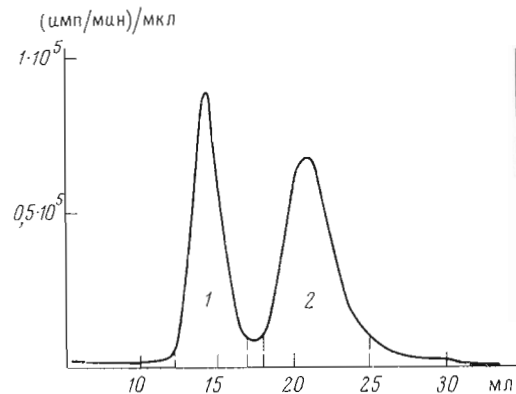
Рис. 5. Двухмерное разделение продуктов частичного VPDE-гидролиза меченых додекануклеотидов. Направление 1 — электрофорез на ацетилцеллюлозе при рН 3,5, направление 2 — гомохроматография на пластинках (20 × 20 см) DEAE-целлюлозы (гомосмесь 6 [14]), В — пятно красителя — маркера ксиленцианофиала FF; а — нуклеотидная карта додекануклеотида  $^{32}\text{P}$ -G-T-T-C-G-A-T-C-C-T-G-G ( $^{32}\text{P}$ -VI), б — нуклеотидная карта додекануклеотида  $^{32}\text{P}$ -G-C-G-A-A-A-T-C-A-C-C-A ( $^{32}\text{P}$ -XII)

Таким образом, нами осуществлен химико-ферментативный синтез двухцепочечного полипукулеотида (XV)·(XVI), составляющего 5'-концевую часть структурного гена дрожжевой валиновой тРНК.

#### Экспериментальная часть

Общие сведения об эксперименте см. [6]. В работе использованы мононуклеотиды производства СКТБ БАВ Главмикробиопрома (Новосибирск), Трис и акриламид (Merck, ФРГ), дитиотрейт (Calbiochem, США), ксиленцианол FF (Eastman Organic Chemicals, США), [ $\gamma$ - $^{32}\text{P}$ ]ATР (10—15 Ки/ммоль) (Amersham, Англия), бумага № 1 Whatman (Англия), ацетил-

Рис. 6. Выделение двухцепочечного полинуклеотида (XV) · (XVI) (см. опыт 12) гель-фильтрацией на колонке с сефадексом G-50 ( $0,8 \times 0,38$  см) в 0,05 М ТЕАВ, pH 8,5, фракции 0,25 мл/3 мин. Первый пик ( $48 \cdot 10^6$  имп/мин) содержит продукты лигазной спивки, второй пик ( $66 \cdot 10^6$  имп/мин) — исходные олигонуклеотиды



целлюлоза (Schleicher und Schüll, ФРГ), целлюлоза MN-300, DEAE-целлюлоза MN-300 (для гомохроматографии), EDTA и бис-акриламид (Serva, ФРГ), DEAE-целлюлоза DE-23 (для колоночной хроматографии) и DE-81 (бумага) и фосфоцеллюлоза P-81 (бумага) (Whatman, Англия), сефадексы A-25 и G-50 (Pharmacia, Швеция), ДНКаза I (КФ 3.1.4.5), щелочная фосфатаза *E. coli* (КФ 3.1.3.1), фосфодиэстераза змеиного яда (КФ 3.1.4.1) и фосфодиэстераза селезенки (КФ 3.1.4.1) (Worthington, США), микрококковая нуклеаза (КФ 3.1.4.7) P-L (Biochemicals, США); T4-полинуклеотид-киназа (КФ 2.7.1.78) и T4-ДНК-лигаза (КФ 6.5.1.1), выделенные по методу [7], были предоставлены А. В. Честухиным и О. А. Киселевой (Москва). Микроколоночную хроматографию проводили с помощью спектрофотометрической приставки МСФП-1 (Новосибирск). Высоковольтный электрофорез осуществляли в приборе Savant Instruments (США), радиоактивность определяли с помощью сцинтилляционного счетчика Mark II (Nuclear Chicago, США). Хроматографию на бумаге проводили в системах этанол — 1 М ацетат аммония 7 : 3, pH 7,5 (А) и *n*-пропанол — 25% амиак — H<sub>2</sub>O, 11 : 2 : 7 (Б); TCX — на пластинках Silufol<sub>254</sub> (ЧССР) в водном ацетонитриле. N-Защитные группы удаляли обработкой 25% водным NH<sub>3</sub> (2 мл на 20 ОЕ олигонуклеотида, 5 сут при 20°) с последующим упариванием и хроматографией в системе Б. Для удаления монометокситриильной группы олигонуклеотиды, лишенные N-защитных групп, обрабатывали смесью уксусная кислота — пиридин — вода, 14 : 1 : 3 (5 мл на 20 ОЕ, 36 ч при 20°), раствор упаривали и хроматографировали в системе Б. Нуклеотидный состав полученных веществ определяли ферментативным гидролизом, как описано ранее [8]. Характеристики полученных олигонуклеотидов приведены в табл. 1.

1. *pbzA-T-anC* (II). Смесь 2,0 г (2,0 ммоль) (CNEt)pbzA-T [2] и 2,83 г (5,0 ммоль) panC(Ac), высушеннную упариванием с пиридином, растворили в 15 мл пиридинина, прибавили 5,2 г (17 ммоль) TPS и выдержали 5 ч при комнатной температуре. Для прекращения реакции к смеси при —20° прилили равный объем воды и оставили на ночь при 4°. Затем при 0° прибавили 30 мл охлажденного 2 н. NaOH, выдержали 15 мин при комнатной температуре, нейтрализовали дауэксом-50 (РуH<sup>+</sup>) до pH 8,0, смолу отфильтровали и промыли 2 М водным пиридином. Объединенный фильтрат напесли на колонку с DEAE-целлюлозой (HCO<sub>3</sub><sup>-</sup>, 2,5 × 30 см), уравновешенную 0,05 М ТЕАВ в 10% спирте, и хроматографировали в градиенте концентрации ТЕАВ в 10% спирте (0,05—0,45 М, 5 л; 0,45—0,5 М, 1 л), собирая фракции по 12 мл/4 мин. Из фракции 340—390 после упаривания с пиридином и осаждения из пиридина эфиром выделили 25 800 ОЕ<sub>280</sub> (31%) тринуклеотида (II); возврат panC 40%, pbzA-T 28%.

2. (*MeOTr*)bzG-T-T-anC-ibG-bzA-T-anC (III) получен взаимодействием 200 мг (0,082 ммоль) пентануклеотида (I) [4], 590 мг (0,42 ммоль) pbzA-T-anC(Ac) и 780 мг (2,5 ммоль) TPS в 5 мл пиридина в условиях опыта 1.

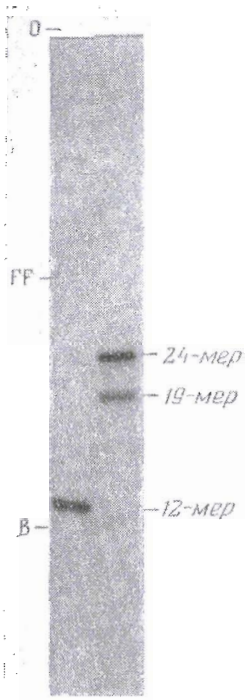


Рис. 7. Разделение полинуклеотидов (XV) и (XVI) электрофорезом (500 В, 17 ч) в 20% полиакриламидном геле (пластина  $40 \times 18 \times 0,15$  см) в 0,05 М Трис-боратном буфере (рН 8,3), содержащем 8 М мочевину и 1 mM EDTA (см. опыт 13). О — старт, FF — ксиленцианол FF, В — бромфеноловый синий

Хроматографировали на колонке с DEAE-целлюлозой ( $\text{HCO}_3^-$ ,  $2 \times 30$  см) в градиенте концентрации TEAB и спирта (1 л 0,1 М в 5% спирте — 1 л 0,5 М в 40% спирте, затем 0,5 л 0,6 М в 40% спирте), собирая фракции 7 мл/8 мин. Из фракций 195—230 выделили 3600  $\text{OE}_{280}$  (47%) октануклеотида (III); возврат  $\text{rbzA-T-anC}$  54%. Рекроматографировали на колонке  $1,4 \times 32$  см (0,1—0,6 М TEAB в 40% спирте, 1,6 л); из фракции 120—140 выделили 2000  $\text{OE}_{280}$  (26%) октануклеотида (III).

3.  $\text{panC-T-ibG-ibG}$  (IV) получен взаимодействием 0,44 г (0,46 ммоль) (CNET)panC-T [9], 0,62 г (0,61 ммоль) ribG-ibG(Ac) [10] и 0,91 г (3 ммоль) TPS в условиях опыта 1. Хроматографировали на колонке с DEAE-целлюлозой ( $\text{HCO}_3^-$ ,  $2,5 \times 35$  см) в линейном градиенте концентрации TEAB в 10% спирте (0,05—0,5 М, 4 л), собирая фракции по 13 мл/5 мин. Из фракций 205—235 выделили 6000  $\text{OE}_{280}$  (27%) тетрануклеотида (IV); возврат panC-T 20%, ribG-ibG 57%.

4. ( $\text{MeOTr}$ )bzG-T-T-anC-ibG-bzA-T-anC-anC-T-ibG-ibG (V) получен взаимодействием 800  $\text{OE}_{280}$  (8,1 мкмоль) октануклеотида (III), 4000  $\text{OE}_{280}$  (85 мкмоль) 3'-ацетата тетрануклеотида (IV) и 150 мг (0,5 ммоль) TPS в условиях опыта 1. Результаты хроматографии реакционной смеси и последующей рекроматографии додекануклеотидной фракции приведены на рис. 1а и 2а. Фракции, содержащие додекануклеотид (V), объединили разбавили в 3 раза водой, нанесли на колонку с DEAE-целлюлозой ( $\text{HCO}_3^-$ ,  $2,5 \times 5$  см) и колонку промыли 500 мл 0,05 М TEAB, после чего вещество элюировали 50 мл 1 М TEAB. Элюат несколько раз упарили со спиртом до полного удаления триэтиламина и остаток растворили в 10 мл 0,05 М Трис-HCl, рН 7,5. Выход додекануклеотида (V) 3800  $\text{OE}_{280}$  (37%); возврат тетрапуклеотида (IV) 63%.

5. ( $\text{MeOTr}$ )bzG-anC-ibG (VII) получен взаимодействием 1,50 г (2,34 ммоль) ( $\text{MeOTr}$ )bzG [11], 0,76 г (0,73 ммоль) panC-ibG(Ac) [10] и 1,1 г (3,65 ммоль) TPS в 8 мл пиридина в течение 5 ч при комнатной температуре. Реакцию прекратили добавлением 8 мл 1 М раствора трибутиламина в пиридине и 16 мл воды при  $-20^\circ$ . Через 18 ч при  $0^\circ$  прибавили равный объем 2 н. NaOH, через 10 мин нейтрализовали дауэксом-50 (РуН<sup>+</sup>), смолу отфильтровали, фильтрат упарили до объема 50 мл, прибавили 2 мл трибутиламина и упарили досуха. Остаток растворили в 100 мл 0,05 М TEAB и последовательно экстрагировали эфиром ( $3 \times 100$  мл), этилацетатом ( $2 \times 100$  мл), смесью этилацетат — *н*-бутанол, 9 : 1 (100 мл) и 8 : 2 (100 мл) и смесью хлористый метилен — *н*-бутанол, 7 : 3 ( $2 \times 100$  мл), контролируя ход извлечения с помощью ТСХ. Экстракти, содержащие хлористый метилен, упарили с пиридином и остаток осадили из пиридина эфиром. Выход тринуклеозидифосфата (VII) 570 мг (47%). Возврат ( $\text{MeOTr}$ )bzG 60% (из этилацетатного экстракта), panC-ibG 35% (из TEAB).

6. ( $\text{MeOTr}$ )bzG-anC-ibG-bzA-bzA (VIII) получен взаимодействием 560 мг (0,345 ммоль) ( $\text{MeOTr}$ )bzG-anC-ibG (VII), 650 мг (0,62 ммоль)  $\text{rbzA-bzA(Ac)}$  (динуклеотид синтезирован с выходом 77%, ср. [9]) и 1,6 г (5,2 ммоль) TPS в 6 мл пиридина в условиях опыта 5. После обработки реакционной смеси экстрагировали последовательно эфиром (500 мл), этилацетатом (250 мл)

и смесью *n*-бутанол — хлористый метилен, 1 : 9 (300 мл); из последних экстрактов выделили тринуклеозидифосфат (VII) (возврат 15%). Водный раствор досуха упарили с пиридином, остаток растворили в 100 мл 0,05 М TEAB, нанесли на колонку с DEAE-целлюлозой ( $\text{HCO}_3^-$ , 2 × 30 см) и хроматографировали в градиенте концентрации TEAB (0,05—0,35 М в воде, 2 л; 0,2 л 0,05 М в воде; 0,3 л 0,05 М в 50% спирте; 0,05—0,5 М в 50% спирте, 2 л), собирая фракции по 15 мл/2 мин. Из фракций 245—310 выделили 14 000 ОЕ<sub>280</sub> (50%) пентануклеотида (VIII); возврат pbzA-bzA 47%. Пентануклеотид (VIII) рехроматографировали на колонке с DEAE-целлюлозой ( $\text{HCO}_3^-$ , 2 × 30 см), в линейном градиенте концентрации TEAB в 50% спирте (0,05—0,5 М, 2 л), собирая фракции по 13 мл/14 мин; из фракций 56—76 выделили 10 000 ОЕ<sub>280</sub> (36%).

7. (*MeOTr*)bzG-anC-ibG-bzA-bzA-T-anC (*IX*) получен взаимодействием 0,20 г (0,074 ммоль) пентануклеотида (VIII), 0,40 г (0,26 ммоль) pbzA-T-anC(Ac) и 0,81 г (2,67 ммоль) TPS в 5 мл пиридина в условиях опыта 1. Хроматографировали на колонке с DEAE-целлюлозой ( $\text{HCO}_3^-$ , 1,5 × 30 см) в градиенте концентрации TEAB и спирта (1 л 0,05 М TEAB в 10% спирте — 1 л 0,6 М TEAB в 40% спирте), собирая фракции по 11 мл/14 мин. Из фракций 130—165 выделили 5500 ОЕ<sub>280</sub> (60%) октануклеотида (*IX*); возврат тринуклеотида (II) 73%. Октануклеотид (*IX*) рехроматографировали на колонке с DEAE-целлюлозой ( $\text{HCO}_3^-$ , 1,5 × 25 см) в градиенте концентрации TEAB в 40% спирте (0,05 М — 0,6 М, 2 л), собирая фракции по 13 мл/8 мин; из фракций 96—108 выделили 4800 ОЕ<sub>280</sub> (54%).

8. pbzA-anC-anC-bzA (*X*) получен взаимодействием 185 мг (0,17 ммоль) (CNET)pbzA-anC [12], 510 мг (0,485 ммоль) ranC-bzA(Ac) [12] и 760 мг (2,5 ммоль) TPS в 2 мл пиридина в условиях опыта 1. Хроматографировали на колонке с DEAE-целлюлозой ( $\text{HCO}_3^-$ , 2 × 30 см) в градиенте концентрации TEAB в 10% спирте (0,05—0,5 М, 2 л), собирая фракции по 10 мл/6 мин. Из фракций 135—165 выделили 5700 ОЕ<sub>280</sub> тетрануклеотида (*X*) (38%).

9. (*MeOTr*)bzG-anC-ibG-bzA-bzA-T-anC-bzA-anC-bzA (*XI*) получен взаимодействием 600 ОЕ<sub>280</sub> (5 мкмоль) октануклеотида (*IX*), 1600 ОЕ<sub>280</sub> (50 мкмоль) 3'-ацетата тетрануклеотида (*X*) и 180 мг (0,6 ммоль) TPS в условиях опыта 1. Результаты хроматографии и рехроматографии представлены на рис. 1б и 2б. Выход додекануклеотида (*XI*) 220 ОЕ<sub>280</sub> (25%); возврат тетрануклеотида (*X*) 45%.

10. а) *G-T-T-C-G-A-T-C-C-T-G-G* (*VI*). 40 ОЕ<sub>280</sub> защищенного додекануклеотида (*V*) обработали 3 мл 25% водного  $\text{NH}_3$  (72 ч при 20°, затем 5 ч при 50°), раствор упарили досуха, остаток растворили в 3 мл смеси уксусная кислота — пиридин — вода (14 : 1 : 3), выдержали 24 ч при 20° и снова упарили. Остаток растворили в 30 мл 7М мочевины и хроматографировали, как показано на рис. 3а и 3б. Аналитическая микроколоночная хроматография выделенного додекануклеотида (*VI*) представлена на рис. 4а.

б) *G-C-G-A-A-T-C-A-C-C-A* (*XII*) получен из защищенного додекануклеотида (*XI*) аналогично опыту 10а. Условия и результаты препаративной и аналитической хроматографии приведены на рис. 3в, 3г и 4б.

в) Нуклеотидные карты додекануклеотидов (*VI*) и (*XII*) (рис. 5) были получены, как описано ранее [13].

11. *5'-Фосфорилирование олигонуклеотидов*. К 2,5 пмоль додекануклеотида (*VI*), (*XII*) или (*XIII*) в 300 мкл раствора, содержащего 25 мкМ [ $\gamma^{32}\text{P}$ ]rATP, 10 мМ MgCl<sub>2</sub>, 1 мМ спермин, 1 мМ дитиотреит и 60 мМ Трис-HCl (рН 7,5), прибавляли 10—15 ед. T4-полинуклеотидкиназы [14] и смесь инкубировали 1 ч при 37°. Реакцию прекращали, добавляя 30 мкл 0,2 М EDTA, и 5'-[ $^{32}\text{P}$ ]додекануклеотид выделяли гель-фильтрацией на сепадексе G-50 (колонка 0,8 × 38 см) в 0,05 М TEAB. Выход (по включению  $^{32}\text{P}$ ) 85—95%.

**12. Лигазное сшивание олигонуклеотидов.** Раствор 2,5 нмоль ( $6 \cdot 10^7$  имп/мин) додекануклеотида ( $^{32}\text{P}$ -VI), 2,5 нмоль ( $5,4 \cdot 10^7$  имп/мин) додекануклеотида ( $^{32}\text{P}$ -XII), 2,1 пмоль ( $5,3 \cdot 10^7$  имп/мин) додекануклеотида ( $^{32}\text{P}$ -XIII) и 3,5 нмоль гептануклеотида (XIV) в 300 мкл буфера, содержащего 60 мМ Трис-НCl (рН 7,5), 10 мМ MgCl<sub>2</sub> и 1 мМ дитиотрейт, выдержали 10 мин при 80°, затем в течение 4 ч постепенно охладили до 10° и оставили при этой температуре на 14 ч. К реакционной смеси прибавили гATР до концентрации 87 мкМ, 120 ед. T4-ДНК-лигазы [7] и инкубировали при 10°, периодически определяя долю радиоактивного фосфата, устойчивого к ВАР. Для этого аликовты (по 1 мкл) обрабатывали 0,005—0,01 ед. ВАР в 10 мкл буфера, содержащего 1 мМ MgCl<sub>2</sub> и 50 мМ Трис-НCl (рН 8,9), в течение 30 мин при 60° и полученную смесь продуктов дефосфорилирования подвергали электрофорезу на DEAE-бумаге в пиридин-ацетатном буфере (рН 3,5) в течение 1,5—2 ч при 30 В/см; в этих условиях олигонуклеотиды остаются на старте, а неорганический фосфат движется в 3,5 раза быстрее голубого красителя ксиленцианола FF. Вещества локализовали радиоавтографией, соответствующие зоны вырезали и радиоактивность определяли в толуольном сцинтилляторе. После завершения реакции прибавили 30 мкл 0,2 М EDTA, нагревали 1 мин при 100°, охладили до 0° и хроматографировали на сефадексе G-50 (рис. 6).

**13. Выделение одноцепочных продуктов лигазного сшивания (XV) и (XVI).** Часть полученного в предыдущем опыте вещества ( $2 \cdot 10^6$  имп/мин) подвергли электрофорезу в полиакриламидном геле (см. рис. 7). Зоны радиоактивных веществ вырезали из геля, тщательно измельчили скальпелем и поместили каждую в отдельную трубку для электрофореза, закрытую снизу кружком DEAE-бумаги и затем диализной пленкой. Трубку заполнили буфером, содержащим 0,02 М NaOAc, 0,1 мМ EDTA и 0,04 М Трис-ацетат (рН 8,3), поместили в прибор для электрофореза так, чтобы ее нижний край был погружен в анодный раствор на 1—2 мм, и проводили электроэлюсию (5—7 мА, 4—5 ч), в результате чего радиоактивное вещество количественно переносилось на DEAE-бумагу. Кружки DEAE-бумаги высушили, несколько раз промыли спиртом и снова высушили, радиоактивные продукты элюировали 150—200 мкл 2 н. раствора NaCl и обесценили гель-фильтрацией на колонке с сефадексом G-50 в 0,05 М TEAB.

**14. Анализ двухцепочечного (XV)-(XVI) и одноцепочных (XV) и (XVI) продуктов лигазного сшивания.** Исследуемые олигонуклеотиды (или их смесь) дефосфорилировали, как в опыте 12, после чего щелочную фосфатазу ингибировали прибавлением NaOH до концентрации 0,2 М и нагреванием в течение 1 мин при 100°. Для нейтрализации и удаления остатков фосфатазы реакционную смесь нанесли на полоску фосфоцеллюозной бумаги, промытой 0,1 н. HCl и водой, бумагу высушили и олигонуклеотиды элюировали 100—200 мкл воды.

Гидролиз до 5'-мононуклеотидов проводили, инкубируя исследуемое вещество ( $5 \cdot 10^3$ — $2 \cdot 10^4$  имп/мин) с 2 мкг/мл ДНКазы I и 300 мкг/мл SPDE в течение 3 ч при 37° в 15 мкл буфера, содержащего 60 мМ Трис-НCl, 10 мМ MgCl<sub>2</sub> и 1 мМ дитиотрейт (рН 7,5). Реакционную смесь подвергли электрофорезу на бумаге в пиридин-ацетатном буфере (рН 3,5) в течение 45 мин при 100 В/см, пятна 5'-мононуклеотидов локализовали радиоавтографией, вырезали и радиоактивность измеряли в толуольном сцинтилляторе.

Для гидролиза до 3'-мононуклеотидов исследуемое вещество инкубировали с 2 ед. микрококковой пуклеазы (2 ч при 37°) в 5 мкл буфера, содержащего 50 мМ глицин и 10 мМ CaCl<sub>2</sub> (рН 9,2), затем нейтрализовали 0,2 М HCl, прибавили 0,01 ед. SPDE в 10 мкл буфера, содержащего 0,1 М NH<sub>4</sub>OAc и 0,2% твин-80 (рН 6,5), и инкубировали еще 2 ч при 37°. Электрофорез и определение радиоактивности проводили, как при определении 5'-мононуклеотидов.

## ЛИТЕРАТУРА

1. Берлин Ю. А., Вульфсон А. Н., Колосов М. Н., Коробко В. Г., Якимов С. А. (1977) Биоорганическая химия, 3, 22—30.
2. Berlin Yu. A., Chakhmakhcheva O. G., Efimov V. A., Shingarova L. N. (1975) Nucleic Acid Res., 2, s105.
3. Берлин Ю. А., Ефимов В. А., Колосов М. Н., Чахмакхчева О. Г., Шингарова Л. Н. (1976) Биоорганическая химия, 2, 1505—1512.
4. Берлин Ю. А., Ефимов В. А., Колосов М. Н., Коробко В. Г., Чахмакхчева О. Г., Шингарова Л. Н. (1975) Биоорганическая химия, 1, 1121—1129.
5. Saramella V., van de Sande J. H., Khorana H. G. (1970) Proc. Nat. Acad. Sci. USA, 67, 1468—1475.
6. Берлин Ю. А., Бочарова Т. Н., Вульфсон А. Н., Колосов М. Н., Коробко В. Г. (1976) Биоорганическая химия, 2, 762—771.
7. Panet A., van de Sande J. H., Loewen P. C., Khorana H. G., Raas A. J., Litjehange J. R., Klerpe K. (1973) Biochemistry, 12, 5045—5050.
8. Берлин Ю. А., Дьяков В. И., Колосов М. Н. (1974) Биохимия, 39, 747—751.
9. Бадашеева А. Г., Берлин Ю. А., Болдырева Е. Ф., Ивановская М. Г., Кнорре Д. Г., Колосов М. Н., Коробко В. Г., Прокофьев М. А., Смирнов В. Д., Шабарова З. А., Шубина Т. Н. (1973) Химия природных соединений, 394—402.
10. Берлин Ю. А., Болдырева Е. Ф., Ефимов В. А., Колосов М. Н., Коробко В. Г., Полякова И. А., Чахмакхчева О. Г., Чуцирунова О. А. (1973) Химия природных соединений, 402—410.
11. Weber H., Khorana H. G. (1972) J. Mol. Biol., 72, 219—249.
12. Берлин Ю. А., Ефимов В. А., Колосов М. Н., Коробко В. Г., Шингарова Л. Н. (1975) Биоорганическая химия, 1, 1738—1745.
13. Берлин Ю. А., Ефимов В. А., Колосов М. Н., Коробко В. Г. (1976) Биоорганическая химия, 2, 166—178.
14. Richardson C. (1965) Proc. Nat. Acad. Sci. USA, 54, 158—165.
15. Jay E., Bambara R., Padmanabhan R., Wu R. (1974) Nucleic Acids Res., 1, 331—353.

Поступила в редакцию  
15.VIII.1977

## SYNTHESIS OF OLIGO AND POLYNUCLEOTIDES. XIX. THE SYNTHESIS OF A 3'-TERMINAL DOUBLE-STRANDED FRAGMENT OF THE STRUCTURAL GENE FOR A VALINE tRNA FROM YEASTS

BERLIN Yu. A., BOLDYREVA E. F., EFIMOV V. A., KOLOSOV M. N.,  
KOROBKO V. G., CHAKHMAKCHEVA O. G., SHINGAROVA L. N.

*M. M. Shemyakin Institute of Bioorganic Chemistry,  
Academy of Sciences of the USSR, Moscow*

Two dodecadecoxynucleotides d(G-T-T-C-G-A-T-C-C-T-G-G) and d(G-C-G-A-A-T-C-A-C-C-A) homologous to the 54—77 segment of the tRNA<sub>1</sub><sup>Val</sup> from yeast have been chemically synthesized by the phosphodiester approach according to the 5+3+4 scheme. The substances obtained have been characterized by microcolumn anion—exchange chromatography and fingerprinting technique. These oligonucleotides and the earlier synthesised dodecanucleotide d(T-T-C-G-C-C-A-G-G-A-T) were 5'-phosphorylated by [ $\gamma$ -<sup>32</sup>P]ATP and T4 polynucleotide kinase, then complexed with the heptanucleotide d(T-G-G-T-G-A-T) and ligated by T4 DNA ligase to yield a doublestranded deoxypolynucleotide corresponding to the sequence 59—77 of the yeast tRNA<sub>1</sub><sup>Val</sup> and containing a 5-membered protruding end. Thus the chemical-enzymatic synthesis of a 3'-terminal fragment of the structural gene for the tRNA<sub>1</sub><sup>Val</sup> has been carried out.